

بررسی افزایش نرخ انتقال حرارت سمت پوسته در مبدل حرارتی پوسته و لوله حاوی نانوسیال آب / آلومینا با استفاده از دینامیک سیالات محاسباتی

پویا شاه محمدی^۱، حسین بیکی^{*۲}

^۱ دانشجوی کارشناسی ارشد مهندسی شیمی، دانشگاه مهندسی فناوریهای نوین، خراسان رضوی، قوچان، ایران

^۲ استادیار دانشکده مهندسی شیمی، دانشگاه مهندسی فناوریهای نوین، خراسان رضوی، قوچان، ایران

دریافت: ۹۳/۶/۲۶ پذیرش: ۹۴/۳/۲۷

چکیده

در پژوهش حاضر به شبیه‌سازی سه‌بعدی یک مبدل حرارتی پوسته و لوله تحت جریان آشفته با استفاده از دینامیک سیالات محاسباتی پرداخته شده است. سیال سمت پوسته ابتدا آب خالص و در مرحله بعد نانوسیال آب/ آلومینا در نظر گرفته شد. سپس عملکرد مبدل حرارتی، در دو حالت با یکدیگر مقایسه گردید. در هر مبدل حدوداً ۱۱۰۰۰۰۰ سلول وجود دارد. برای شبیه‌سازی رفتار حرارتی و رئولوژیکی نانوسیال مذکور از زبان برنامه نویسی C در سربرگ تابع تعریف کاربر^۱ استفاده شد. نتایج به دست آمده نشان می‌دهند که استفاده از نانوسیال مطابق انتظار، باعث افزایش نرخ انتقال حرارت به میزان ۹٪ و کاهش سرعت در سمت پوسته، در مقایسه با سیال پایه آب خالص می‌شوند. همچنین یک مدل تئوری و دو مدل تجربی برای تخمین ویسکوزیته نانوسیال با یکدیگر مقایسه گردیدند. نتایج نشان دادند در غلظت‌های پایین نانوذرات، سه مدل بر یکدیگر منطبق هستند.

کلمات کلیدی: نانو سیال، مبدل حرارتی پوسته و لوله، دینامیک سیالات محاسباتی

مقدمه

امروزه به دلیل هزینه‌های بالای انرژی و افزایش آلودگی‌های زیست محیطی، بهینه‌سازی مصرف انرژی در صنایع به ضرورتی اجتناب ناپذیر تبدیل شده است. یکی از پرمصرف‌ترین تجهیزاتی که در صنایع شیمیایی به صورت مستقیم با انرژی سروکار دارند، مبدل‌های حرارتی می‌باشند. پس از پیدایش نانوسیالات، بهبود خواص حرارتی سیالات در مبدل‌های حرارتی، به منظور افزایش نرخ انتقال حرارت، کاهش زمان انتقال

* hossein.beiki@gmail.com

^۱User define function (UDF)

حرارت، کاهش ابعاد مبدل و همچنین کاهش مصرف انرژی و به طبع آن کاهش هزینه ها مورد توجه قرار گرفت. تاکنون مطالعات بسیاری در رابطه با خواص حرارتی نانوسیالات صورت گرفته است؛ اما اغلب این مطالعات مبنای آزمایشگاهی دارند و تاکنون هیچ یک از این مطالعات به صورت عددی و محاسباتی برای بررسی انتقال حرارت در مبدل‌های حرارتی پوسته و لوله حاوی نانوسیال تحت شرایط آشفته انجام نشده است.

فرج الهی و همکاران [۱] یک آنالیز آزمایشگاهی برای مطالعه انتقال حرارت نانوسیال در یک مبدل پوسته و لوله تحت جریان آشفته انجام دادند. نتایج نشان می‌داد که در یک عدد پکلت معین، ویژگی‌های انتقال حرارت نانوسیال آب/دی‌اکسید تیتانیوم بالاتر از نانوسیال آب / $\gamma - Al_2O_3$ می باشد در حالی که نانوسیال آب / $\gamma - Al_2O_3$ دارای رفتار انتقال حرارت بهتری در غلظت نانوذرات بالاتر می‌باشند.

حق شناس فرد و همکاران انتقال حرارت نانوسیال اکسید روی در آب را در مبدل حرارتی دو لوله ای و مبدل حرارتی صفحه‌ای مورد مطالعه قرار دادند. نتایج آزمایشات آن‌ها بهبود انتقال حرارت را هنگام استفاده از نانوسیال نشان می‌داد [۲].

لطفی و همکاران افزایش انتقال حرارت نانوسیال نانولوله‌های کربنی چند دیواره در آب را، در یک مبدل حرارتی پوسته و لوله افقی مورد بررسی قرار دادند. نتایج نشان داد که انتقال حرارت در حضور نانولوله‌های کربنی چند دیواره در مقایسه با سیال پایه افزایش یافته است [۳].

ام. الیاس و همکاران^۱ مطالعاتی را روی نانوذرات با اشکال مختلف روی ضریب کلی انتقال حرارت، آنتروپی تولیدی و نرخ انتقال حرارت در مبدل حرارتی پوسته و لوله به صورت آزمایشگاهی انجام دادند. مطالعات آن‌ها نشان داد که نانوذرات به شکل استوانه بهترین میزان عملکرد را از خود نشان می‌دهند [۴].

اوزدن^۲ و همکارش به شبیه سازی یک مبدل حرارتی پوسته و لوله کوچک، با استفاده از روش دینامیک سیالات محاسباتی، برای سیال آب پرداختند. آن‌ها همچنین اثر فاصله بین بافل ها و برش بافل‌ها را نیز بررسی نمودند و مدل های موجود آشفته‌گی را نیز مورد بررسی قرار دادند. آن‌ها دریافتند که از میان مدل‌های اغتشاش موجود، مدل $k - \epsilon$ نتایج دقیق‌تری را از خود نشان می‌دهد [۵].

اختری و همکاران به مطالعه عددی و آزمایشگاهی نانوسیال آب / $\alpha - Al_2O_3$ در یک مبدل حرارتی دو لوله‌ای و مبدل حرارتی پوسته و لوله تحت شرایط آرام پرداختند. آن‌ها همچنین اثر پارامترهای مهم نظیر دبی جریان سرد و گرم، دمای نانوسیال و غلظت نانوذرات را نیز بررسی نمودند [۶].

تمامی مطالعات انجام شده در این زمینه نشان می‌دهند که استفاده از نانوذرات باعث بهبود خواص حرارتی سیال پایه می‌شوند و همچنین میزان انتقال حرارت در مبدل‌ها را به دلیل افزایش هدایت حرارتی و ضریب انتقال حرارت، افزایش می‌دهند. در مطالعه حاضر به بررسی و مقایسه میزان انتقال حرارت سمت پوسته در مبدل حرارتی پوسته و لوله حاوی نانوسیال آب / Al_2O_3 و سیال پایه آب با استفاده از دینامیک سیالات محاسباتی تحت شرایط آشفته پرداخته‌ایم. برای این منظور از مبدل حرارتی پوسته و لوله موجود در مرجع

¹M.Elias&et al.

²Ozden

[۵] استفاده شده است. مرحله پردازش نیز با استفاده از نرم افزار انسیس فلونتت نسخه ۱۴/۵ انجام گرفته است. جدول ۱ اطلاعات هندسی مبدل حرارتی پوسته و لوله را نمایش می دهد.

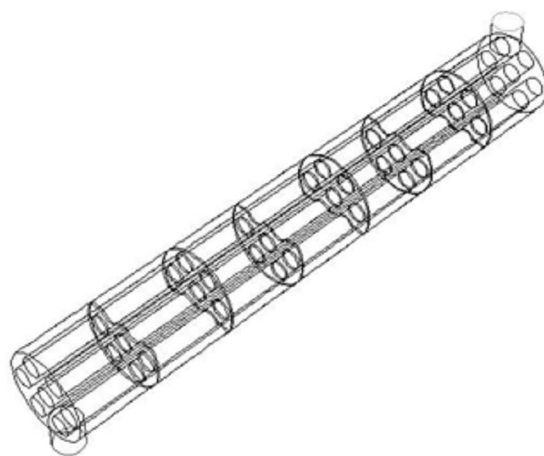
جدول ۱. ابعاد مبدل مورد بررسی

واحد	مقدار	پارامتر
mm	۹۰	قطر پوسته
mm	۲۰	قطر خارجی لوله‌ها
mm	۳۰، مثلثی	فاصله بین لوله‌ها و آرایش لوله‌ها
mm	۶۰۰	طول مبدل
-	۷	تعداد لوله‌ها
-	۲۵٪	درصد برش بافل‌ها
mm	۸۶	فاصله مرکزی بافل‌ها
-	۶	تعداد بافل‌ها

مدل سازی

رسم هندسه و شبکه بندی

هندسه مبدل حرارتی با استفاده از نرم افزار گمبیت ورژن ۲.۲.۳۰ به صورت سه بعدی رسم و شبکه بندی شده است تا تمامی اطلاعات در همه ابعاد قابل بررسی باشند و مسئله به واقعیت نزدیک تر باشد. برای شبکه بندی حجمی مبدل حرارتی، شبکه های چهار وجهی ترکیبی برای سمت پوسته و شش وجهی برای سمت لوله‌ها استفاده شده است. در هر مبدل حدود ۱۱۰۰۰۰ سلول وجود دارد. مبدل حرارتی مورد نظر در این پژوهش از جنس آلومینیوم بوده و دارای جریان متقابل می باشد. شکل ۱ هندسه رسم شده در نرم افزار گمبیت را نمایش می دهد.



شکل ۱. هندسه رسم شده در نرم افزار گمبیت



فرضیات مسئله

فرضیات در نظر گرفته شده برای حل این مسئله عبارتند از:

- جریان سیال و انتقال حرارت آشفته و پایا می‌باشند.
- از اثر نشتی بین لوله‌ها و بافل‌ها و همچنین بافل‌ها و پوسته صرف‌نظر می‌کنیم.
- مبدل حرارتی به خوبی عایق شده و هیچ تبادل حرارتی با محیط اطراف خود ندارد.

شرایط مرزی

شرایط مرزی براساس نیاز مدل در دینامیک سیالات محاسباتی تعیین می‌شود. جدول ۲ شرایط مرزی به کار گرفته شده را شرح می‌دهد.

جدول ۲. شرایط مرزی مورد استفاده در حل مسئله

واحد	لوله (گرم)	پوسته (سیال سرد)	نوع شرایط مرزی
Kg/s	۰/۵	۱	جریان جرمی ورودی
KPa	۱۰۱/۳۲۵	۱۰۱/۳۲۵	فشار خروجی
-	کوپل	عایق	بدون لغزش
m	۰/۰۰۱	-	ضخامت دیوار
	۲۹۶	۳۶۳	دمای ورودی
			دما

برای محاسبه افت فشار خروجی جریان سمت پوسته از شرط مرزی فشار خروجی صفر استفاده گردید و برای شرایط مرزی ورودی نیز شرط مرزی دبی جرمی ورودی به کار گرفته شد.

معادلات حاکم

معادلات حاکم بر مدل مذکور که توسط نرم افزار انسیس فلونت، در دامنه هندسه، روی شبکه‌ها حل می‌گردند در ادامه توضیح داده شده‌اند.

مدل اغتشاش

از آنجایی که جریان مورد استفاده مغشوش می‌باشد برای بیان این آشفتگی باید از مدل‌های آشفتگی استفاده نمود. متأسفانه مدل مغشوشی که بتواند برای تمام حالت‌ها و مسائل مختلف به کار رود، وجود ندارد و انتخاب مدل مغشوش به ملاحظاتمانند فیزیک جریان، تجربیات حاصله از شبیه‌سازی برای مسائل خاص، میزان دقت مورد نیاز، قدرت منابع محاسباتی (قدرت کامپیوتر) و زمان موجود برای انجام محاسبات، وابسته می‌باشد البته برای انتخاب یک مدل مغشوش مناسب باید توانایی‌ها و محدودیت‌های تمام مدل‌ها و حالت‌ها شناخته شوند [۷]. در این پژوهش برای مدلسازی، از سه معادله اغتشاش $k - \epsilon$ Standard, RNG و Realizable استفاده شده است. ساده‌ترین مدل‌های اغتشاش که نسبتاً کامل هستند، مدل‌های دو معادله‌ای می‌باشند. چون حل دو معادله انتقال به صورت جداگانه باعث می‌شود که سرعت اغتشاش و طول مشخصه

به صورت مجزا تعیین شوند. مدل $k - \varepsilon$ در این گروه از مدل‌های اغتشاش قرار دارد و جزء یکی از قدرتمندترین مدل‌های اغتشاش برای مسائل مهندسی محسوب می‌شود. قدرتمندی، اقتصادی بودن محاسبات و داشتن دقت قابل قبول در محدوده وسیعی از جریان‌های مغشوش باعث محبوبیت این مدل در مسائل صنعتی و انتقال حرارت شده است. مدل $k - \varepsilon$ یک مدل نیمه تجربی است و معادلات آن بر اساس مشاهدات تجربی و ملاحظات پدیده‌شناسی به وجود آمده‌اند و برای مدل‌سازی مبدل‌های حرارتی بسیار مناسب می‌باشند [۸]. رحمن^۱ [۹]، در رساله خود به شبیه‌سازی یک مبدل حرارتی پوسته و لوله پرداخت و نتایج به دست آمده را با نتایج آزمایشگاهی مورد تطبیق قرار داد. وی دریافت که نزدیک‌ترین اطلاعات به دست آمده از شبیه‌سازی به اطلاعات تجربی در طرف پوسته، با معادله اغتشاش مدل کا-اِپسِلین به دست آمده است.

معادله ۱ مربوط به k و معادله ۲ مربوط به ε می‌باشد.

$$\frac{\dot{c}}{\partial} \quad (۱)$$

$$\frac{\dot{c}}{\partial} \quad (۲)$$

ویسکوزیته گردابه‌ها نیز از معادله ۳ محاسبه می‌گردد.

$$\mu \quad (۳)$$

معادله پیوستگی

معادله بقای جرم یا پیوستگی از اهمیت بنیادی برخوردار است و برای جریان سیال پایا و آشفته به صورت زیر خواهد بود [۵ و ۱۰].

$$\nabla \quad (۴)$$

معادله مومنتوم

این معادله از موازنه نیرو بر یک المان از جریان به دست می‌آید و بر مبنای قانون دوم نیوتون استوار است. این معادله برای سیالات نیوتونی به صورت معادلات ۵، ۶ و ۷ در سه بعد نوشته می‌شود [۵ و ۱۰].

در جهت x:

$$\nabla \cdot (\rho u \vec{V}) = -\frac{\partial p}{\partial x} + \frac{\partial \tau_{xx}}{\partial x} + \frac{\partial \tau_{yx}}{\partial y} + \frac{\partial \tau_{zx}}{\partial z} \quad (۵)$$

در جهت y:

¹Rehman



$$\nabla \cdot (\rho v \vec{V}) = -\frac{\partial p}{\partial y} + \frac{\partial \tau_{xy}}{\partial x} + \frac{\partial \tau_{yy}}{\partial y} + \frac{\partial \tau_{zy}}{\partial z} + \rho g \quad (۶)$$

در جهت z:

$$\nabla \cdot (\rho w \vec{V}) = -\frac{\partial p}{\partial z} + \frac{\partial \tau_{xz}}{\partial x} + \frac{\partial \tau_{yz}}{\partial y} + \frac{\partial \tau_{zz}}{\partial z} \quad (۷)$$

معادله انرژی

این معادله از نوشتن موازنه انرژی حول یک سیستم به دست می‌آید [۵ و ۱۰]:

$$\nabla \cdot (\rho e \vec{V}) = -p \nabla \cdot \vec{V} + \nabla \cdot (k \nabla T) + q + \varphi \quad (۸)$$

سایر شرایط انتخاب شده جهت مدل سازی

برای گسسته‌سازی در مدل مذکور، از طرح گسسته‌سازی مرتبه دوم برای معادلات انرژی و مومنتوم، و برای سایر معادلات از طرح گسسته‌سازی مرتبه اول استفاده شده است. معیارهای همگرایی برای معادلات مومنتوم، K و ε، و 10^{-6} و برای معادله پیوستگی و انرژی 10^{-7} در نظر گرفته شد.

به دلیل این که خواص ترموفیزیکی نانوسیال با دما تغییر می‌کند، برای بهتر شدن نتایج با استفاده از زبان برنامه نویسی C برای ویسکوزیته، دانسیته و ضریب هدایت حرارتی موثر نانوسیال، توابع زیر به‌عنوان تابع ورودی کاربر در نرم افزار تعریف شده‌اند. برای تعیین ویسکوزیته نانوسیال، به دلیل تاثیر مستقیم روی افت فشار از سه مدل انیشتین [۱۱]، ونگ و همکاران [۱۲] و بونجیورنو [۱۳] استفاده شده است و نتایج حاصل از افت فشار حاصل از سه مدل با یکدیگر مقایسه شده‌اند. لازم به ذکر است که مدل انیشتین دارای مبنای تئوری بوده اما دو مدل دیگر دارای مبنای تجربی و آزمایشگاهی می باشند و مخصوص نانوسیال آب/ آلومینا ارائه شده‌اند.

مدل تئوری انیشتین^۱:

$$\mu_{nf} = \mu_{bf} (1 + 2.5\Phi) \quad (۹)$$

مدل تجربی ونگ و همکاران^۲:

$$\mu_{nf} = \mu_{bf} (1 + 7.3\Phi + 123\Phi^2) \quad (۱۰)$$

مدل تجربی بونجیورنو^۳:

$$\mu_{nf} = \mu_{bf} (1 + 39.115\Phi + 533.9\Phi^2) \quad (۱۱)$$

¹Einstein

²Wang

³Buongiorno

دانشیته نانوسیال نیز از معادله زیر محاسبه می‌گردد [۱۴]:

$$\rho \quad (12)$$

برای محاسبه ضریب انتقال حرارت از رابطه یو و چوئی^۱ استفاده شده است که β در آن برابر ۰/۱ در نظر گرفته می‌شود [۱۵].

$$k \quad (13)$$

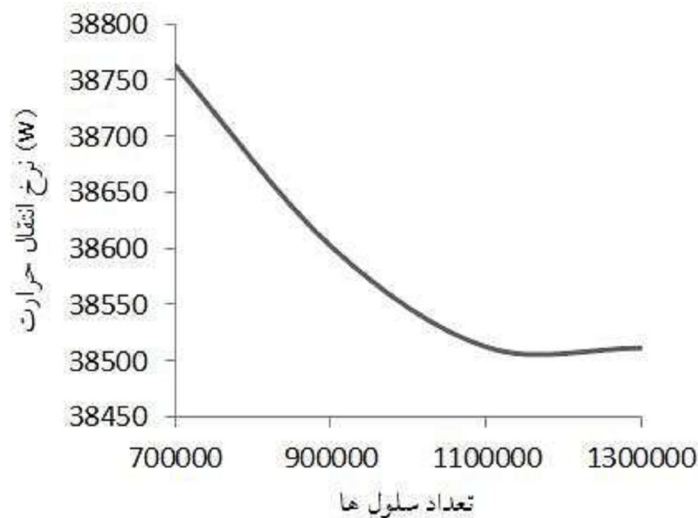
برای محاسبه ظرفیت حرارتی نانوسیال نیز از رابطه ژوآن و روتزل^۲ [۱۶] استفاده شده است.

$$C \quad (14)$$

نانو سیال مورد استفاده در مقاله حاضر آب/ Al_2O_3 یک در صد حجمی می‌باشد.

بحث و نتیجه گیری

برای یافتن تعداد سلول‌های بهینه جهت دقیق‌تر و کوتاه‌تر شدن محاسبات، در مرحله اول، تعداد شبکه‌های بهینه را می‌یابیم. شکل ۲، نرخ انتقال حرارت به‌دست آمده در تعداد متفاوت سلول‌ها را نشان می‌دهد.



شکل ۲. بررسی استقلال از مش

¹Yu &Choei

²Xuan &Roetzel

شکل ۲ نشان می‌دهد که با افزایش تعداد سلول‌ها از ۷۰۰۰۰۰ به ۱۱۰۰۰۰۰، میزان نرخ انتقال حرارت تغییر می‌نماید، اما از تعداد سلول ۱۱۰۰۰۰۰ به بعد، میزان تغییرات نرخ انتقال حرارت بسیار ناچیز می‌باشد و باعث افزایش زمان و حجم محاسبات می‌گردد. بنابراین تعداد سلول‌های بهینه در این مبدل، برابر ۱۱۰۰۰۰۰ سلول می‌باشد.

جهت اعتبارسنجی شبکه‌بندی و نتایج به‌دست آمده از نرم افزار، ضریب کلی انتقال حرارت را با استفاده از روش کرن^۱ [۱۷] به‌دست آورده و با ضریب کلی انتقال حرارت بدست آمده از نرم افزار مقایسه می‌نماییم.

جدول ۳. مقایسه ضریب کلی انتقال حرارت بدست آمده از نرم افزار و روش کرن

معادله اغتشاش	سیال عامل	ضریب کلی انتقال حرارت با استفاده از فلوئنت	ضریب کلی انتقال حرارت با استفاده از روش کرن	% اختلاف ضریب انتقال حرارت بین دو روش
Standard	آب	۲۴۶۳	۲۳۹۷	%۲/۷
RNG	آب	۲۴۵۲	۲۳۹۷	%۲/۲
Realizable	آب	۲۴۳۸	۲۳۹۷	%۱/۶۸

بنابراین همان‌گونه که از جدول ۳ مشخص است، محدوده خطای ضریب انتقال حرارت در محدوده قابل قبولی می‌باشد. بنابراین شبکه‌بندی هندسه ایجاد شده فاقد نقص بوده و می‌توان نتیجه گرفت که نتایج موجود در جدول ۴ با خطای قابل قبولی صحیح می‌باشد. نتیجه دیگری که از جدول ۳ می‌توان دریافت، تطابق بهتر نتایج مدل کا-اِپسِلِن Realizable با روش کرن، نسبت به دو مدل دیگر می‌باشد. در جدول زیر، نتایج حاصل از نرم افزار انسیس فلوئنت برای مدل کا-اِپسِلِن Realizable نشان داده شده است.

جدول ۴. نتایج حاصله از نرم افزار

شار انتقال حرارت [W]	دمای خروجی سمت پوسته [°K]	دمای خروجی سمت لوله [°K]	سیال عامل	تعداد بافل
۳۸۴۰۱	۳۵۳/۸۳	۲۹۸/۶۳	آب	۶
۴۲۲۰۱	۳۵۲/۶۰	۲۹۸/۹۱	آب/ آلومینا	۶

همان‌گونه که از نتایج مشخص است افزودن مقدار کمی نانوذره آلومینا (۱٪ حجمی) به سیال پایه آب، باعث افزایش چشمگیری در نرخ انتقال حرارت می‌شود که در صنعت به لحاظ کاهش آلودگی و هزینه‌ها مطلوب می‌باشد. افزایش در شار انتقال حرارتی به دلیل افزایش نانوذرات آلومینا به سیال پایه می‌باشد.

¹Kern method

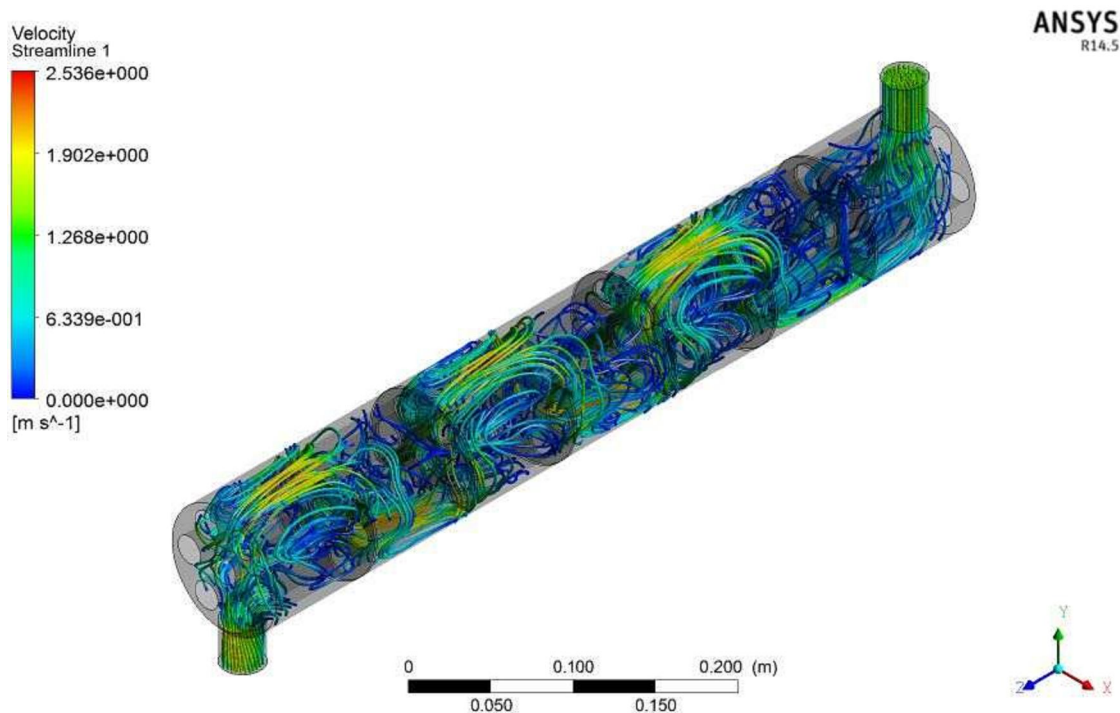
همان‌گونه که در قبل نیز اشاره شد برای تعیین افت فشار نانوسیال، از سه مدل تخمین ویسکوزیته انیشتین، ونگ و همکاران و بونجیورنو استفاده شده است. جدول ۵ نتایج حاصل از سه مدل، جهت تخمین افت فشار سمت پوسته را نشان می‌دهد.

جدول ۵. مقایسه افت فشار حاصل از سه مدل

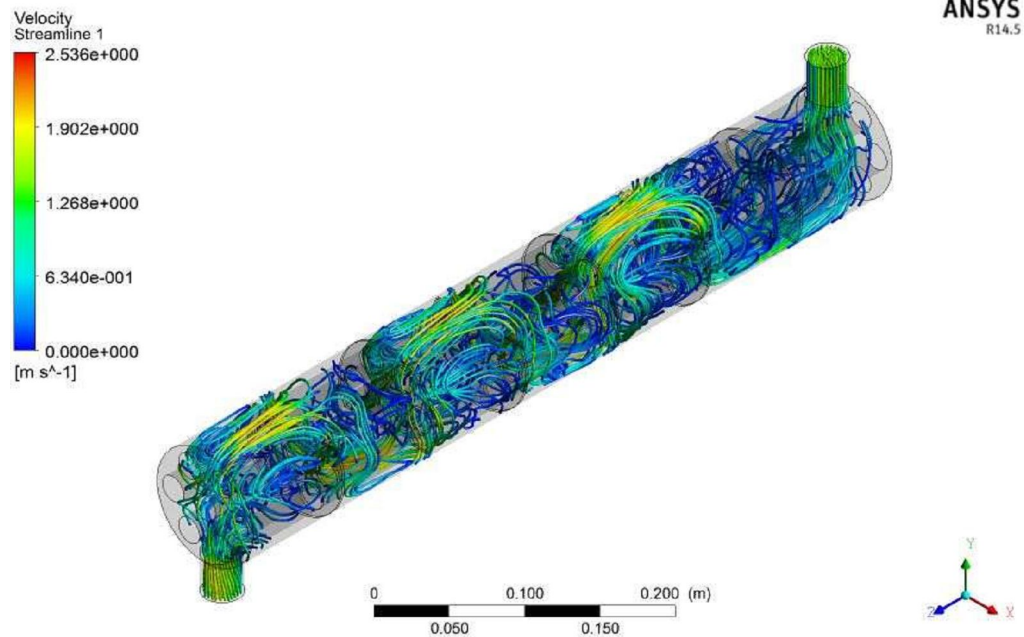
مدل تجربی بونجیورنو (Pa)	مدل تجربی ونگ و همکاران (Pa)	رابطه تئوری انیشتین (Pa)
۴۵۳۴	۴۵۴۰	۴۵۴۱

همان‌گونه که از جدول ۵ نیز مشخص است، سه مدل فوق‌الذکر در غلظت‌های پایین نانوذرات به‌خوبی بر یکدیگر منطبق می‌باشند. در ادامه نتایج گرافیکی حاصل از نرم افزار برای خطوط جریان سرعت و دمای سمت پوسته نشان داده شده اند.

در شکل‌های ۳ و ۴ مقایسه خطوط جریان سرعت برای دو سیال آب و آب/آلومینا نشان می‌دهد که استفاده از نانوذرات آلومینا در سیال پایه آب باعث کاهش سرعت سیال در سمت پوسته می‌شود که دلیل آن، افزایش ویسکوزیته نانوسیال نسبت به سیال پایه می‌باشد. این کاهش به دلیل اندازه نانومتری ذرات، بسیار ناچیز بوده و قابل چشم پوشی می‌باشد.



شکل ۳. خطوط جریان سرعت برای سیال عامل آب (m/s)

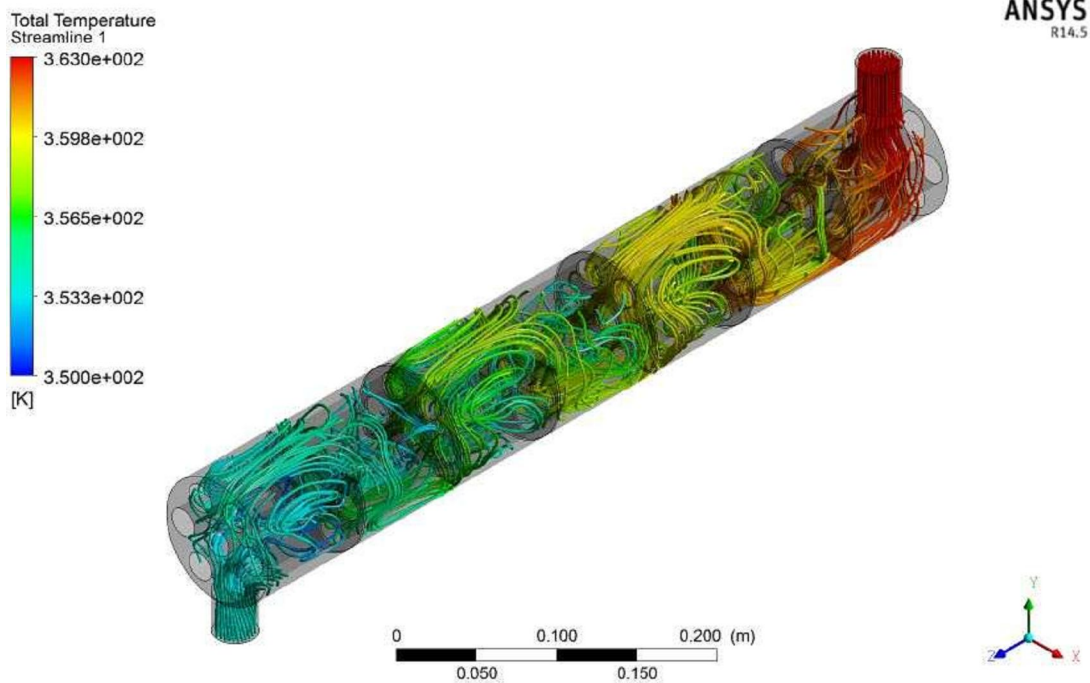


شکل ۴. خطوط جریان سرعت برای سیال عامل آب / آلومینا (m/s)

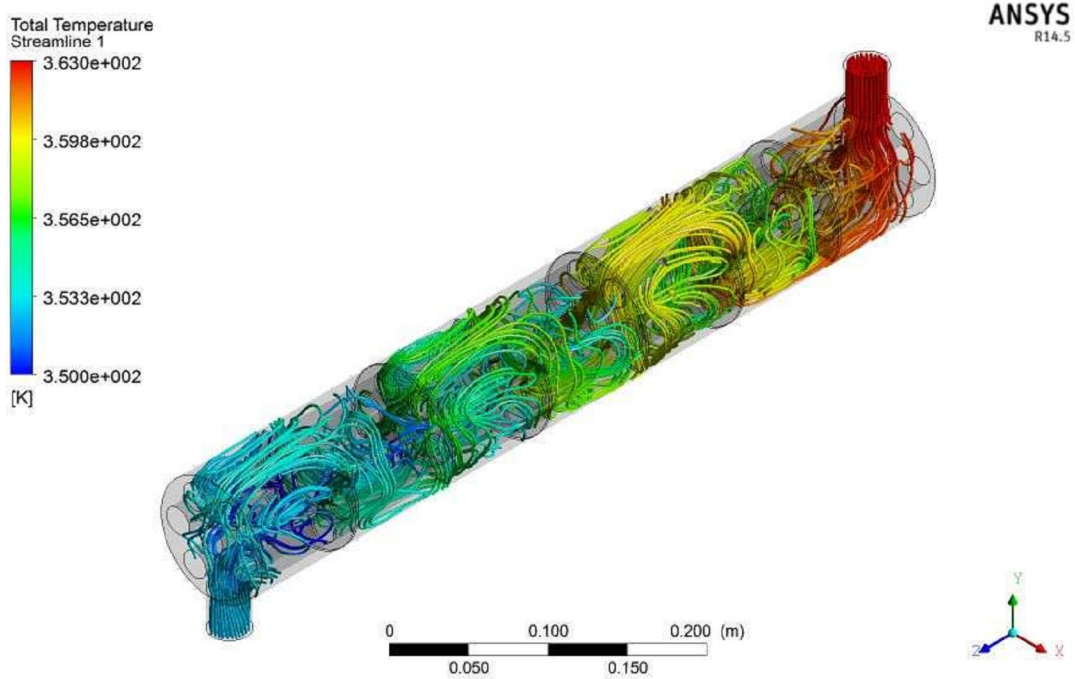
مطابق انتظار افزودن نانوذره به سیال پایه موجب بهبود خواص حرارتی نانوسیال می‌شود و همان‌گونه که از کانتورهای مربوط به دما در شکل‌های ۵ و ۶ مشخص است، به کارگیری نانوسیال در سمت پوسته باعث کاهش بیش‌تر دمای خروجی سیال سمت پوسته می‌شود. دلیل این امر، افزایش هدایت حرارتی سیال پایه می‌باشد. این درحالی است که افزودن این ذرات، تاثیر چندانی روی افت فشار سمت پوسته ندارند. بنابراین استفاده از نانوسیالات در مبدل‌های حرارتی، از نظر اقتصادی، زیست محیطی و همچنین صرفه‌جویی در انرژی کاملاً مقرون به صرفه می‌باشد. همچنین می‌توان ابعاد مبدل مورد نظر را نیز کاهش داد. به عنوان نتیجه‌گیری دیگر از این پژوهش می‌توان به نقش موثر دینامیک سیالات محاسباتی جهت شناخت بهتر جریان سمت پوسته و همچنین کمک به طراحان جهت طراحی بهینه مبدل‌های حرارتی اشاره نمود.

نتیجه گیری

استفاده از نانوذرات آلومینا در سمت پوسته مبدل حرارتی، موجب افزایش بازده مبدل حرارتی می‌گردد. نتایج نشان دادند که افزودن نانوذرات به سیال پایه در مبدل حرارتی، تاثیر چشمگیری روی ویسکوزیته و افت فشار سمت پوسته ندارند. از طرف دیگر افزایش نانوذرات آلومینا به اندازه ۱٪ حجمی، باعث افزایش نرخ انتقال حرارت به میزان ۹٪ می‌گردد. در میان مدل‌های اغتشاش بررسی شده و با مقایسه نتایج به دست آمده از روش کرن و نرم‌افزار، مشخص گردید که مدل اغتشاش کا-اپسیلن Realizable دارای تطابق بیش‌تری با روش کرن می‌باشد. با بررسی سه مدل تجربی و تئوری انیشتین، ونگ و همکاران و بونجیورنو مشخص شد که در غلظت‌های پایین نانوذرات، افت فشار محاسبه شده از این مدل‌ها، تطابق خوبی با یکدیگر دارند.



شکل ۵. خطوط جریان دما برای سیال عامل آب ($^{\circ}K$)



شکل ۶. خطوط جریان دما برای سیال عامل آب / آلومینا ($^{\circ}K$)



فهرست علائم و نشانه ها

Subtitle of bf	سیال پایه
$C_{1\varepsilon}$ و $C_{2\varepsilon}$ و $C_{3\varepsilon}$	ثوابت معادلات انتقال
ρ	دانسیته
φ	تابع اتلاف
μ	ویسکوزیته دینامیک
G_b	تولید آشفستگی به دلیل خاصیت شناوری
g	شتاب گرانشی
C_p	ظرفیت حرارتی
Q	شار حرارتی
K	انرژی جنبشی حاصل از نوسانات آشفستگی در واحد جرم
Subtitle of nf	نانوسیال
Subtitle of np	نانوذرات
x و y و z	مختصات موقعیت
p	فشار
G_k	اغتشاش تولید شده بر اثر گرادیان سرعت
τ	تنش برشی
k	هدایت حرارتی
σ_k	عدد پرانتل آشفستگی برای k
σ_ε	عدد پرانتل آشفستگی برای ε
μ_t	ویسکوزیته آشفستگی
S_k و S_ε	متغیرهای تعریف شده رابطه انتقال
u, v, w	اجزاء سرعت
\vec{V}	بردار سرعت
ε	نرخ اتلاف ویسکوزیته
\emptyset	درصد حجمی

مراجع

1. Farajollahi, B., Etemad, S. G., &Hojjat, M. (2010).Heat transfer of nanofluids in a shell and tube heat exchanger.*International Journal of Heat and Mass Transfer*, 53(1), 12-17.
2. Haghshenas, F. M., Talaie, M. R., & Nasr, S. (2011). Numerical and experimental investigation of heat transfer of ZnO/water nanofluid in the concentric tube and plate heat exchangers.*Thermal Science*, 15(1), 183-194.
3. Amrollahi, A., Rashidi, A. M., Lotfi, R., EmamiMeibodi, M., &Kashefi, K. (2010). Convection heat transfer of functionalized MWNT in aqueous fluids in laminar and turbulent

flow at the entrance region. *International Communications in Heat and Mass Transfer*, 37(6), 717-723.

4. Elias, M. M., Miqdad, M., Mahbubul, I. M., Saidur, R., Kamalisarvestani, M., Sohel, M. R., ...&Amalina, M. A. (2013). Effect of nanoparticle shape on the heat transfer and thermodynamic performance of a shell and tube heat exchanger. *International Communications in Heat and Mass Transfer*, 44, 93-99.

5. Ozden, E., &Tari, I. (2010). Shell side CFD analysis of a small shell-and-tube heat exchanger. *Energy Conversion and Management*, 51(5), 1004-1014.

6. Akhtari, M., Haghshenasfard, M., &Talaie, M. R. (2013). Numerical and Experimental Investigation of Heat Transfer of α -Al₂O₃/Water Nanofluid in Double Pipe and Shell and Tube Heat Exchangers. *Numerical Heat Transfer, Part A: Applications*, 63(12), 941-958.

7. FLUENT Incorporated, "Fluent 6.3, User's Guide", Fluent Incorporated, 2008.

۸. امید توحیدی، راهنمای جامع انسیس فلونت، انتشارات موسسه فرهنگی هنری دیباگران تهران، آبان ماه

۱۳۹۲

9. Rehman, U. U. (2012). Heat transfer optimization of shell-and-tube heat exchanger through CFD studies. Department of Chemical and Biological Engineering Division of Chemical Engineering. Chalmers university of technology.

10. Wylie, E. B., & Streeter, V. L. (1978). Fluid transients. *New York, McGraw-Hill International Book Co., 1978. 401 p., 1.*

11. D. A. Drew and S. L. Passman, Theory of Multicomponent Fluids, Springer, Berlin, 1999.

12. Wang, X., Xu, X., Choi, S.U., "Thermal conductivity of nanoparticles-fluid mixture," *Journal of Thermophysics and Heat Transfer*, vol. 13, pp. 474-80, 1999.

13. Buongiorno, J., "Convective transport in nanofluids," *Journal of Heat Transfer*, vol. 128, pp. 240-250, 2006.

14. Das, S. K., Choi, S. U., & Patel, H. E. (2006). Heat transfer in nanofluids—a review. *Heat transfer engineering*, 27(10), 3-19.

15. Yu, W., & Choi, S. U. S. (2003). The role of interfacial layers in the enhanced thermal conductivity of nanofluids: a renovated Maxwell model. *Journal of Nanoparticle Research*, 5(1-2), 167-171.

16. Xuan, Y., &Roetzel, W. (2000). Conceptions for heat transfer correlation of nanofluids. *International Journal of Heat and Mass Transfer*, 43(19), 3701-3707.

17. Kern DQ. Process heat transfer. New York (NY): McGraw-Hill; 1950.